

大阪大学工学部 正量 西村宣男
大阪大学工学部 正量 小松圭夫
大阪大学大学院 学生員 中田憲正

1. まえがき 側道フレートガーデ橋の一形式である一面の構構・対傾構で連結された2主析橋の床版コンクリート硬化前の架設系に因する全体横倒れ座屈荷重の簡易計算式を計算するとともに、全体横倒れ座屈に因する無次元パラメータの実橋における分布を調査し、その特性について考察を加える。本理論は構用されていく方法²⁾に比べて、以下の点で拡張されている。1)水平曲げ变形に伴う構構のせん断变形を考慮している。2)構構と主析の取付部における主析腹板のねじれ变形（以下、取付部局部変形と称す）を考慮している。

2. 解析モデルと仮定 2本の主析と構構・対傾構で構成された2主析橋（図-1）の1次元化理論を展開する。以下、仮定を設ける。1)対傾構は橋断面の断面形状を拘束するに充分な剛性を有している。従って、両側主析の水平横方向変位およびねじれ角は相等しいものとみなすことができる。2)取付部局部変形は主析と構構の連結性能に影響を与えるが、主析自体の剛性に与える影響は僅少である。3)曲げに付随する主析のせん断变形は無視できる。4)構構は軸力部材とする。構構は等価なせん断剛性を有する薄板に置換するが、この置換板は構構面内のせん断力に對して抵抗するだけである。

3. 座屈方程式の導出 図-2に示すような1軸対称断面を対象として、横倒れ座屈時に断面の変位として主析の水平変位 u 、 y 軸まわりの回転角 θ_y 、構構水平変位 u_w 、構断面のねじれ角 θ_z およびねじり率 θ'_z の5自由度を考える。断面を構成する13個の折板要素の面内力（図-3）と変位表示し、橋断面につけて釣合式を作成する。その際、図-4に模式的に示す取付部局部変形を、図-5に示すように主析と構構折板要素の間に挿入した分布ばねで評価する。鉛直面内の曲げモーメント M_x による横倒れ座屈方程式は以下の微分方程式で表わされる。

$$EI_y^m u'' + \{ EI_y^{fu} (\frac{h}{2} + e_b) - EI_y^u (\frac{h}{2} - e_b) \} \theta'' + t_b (u - u_w) + \frac{1}{2} (M_x \theta_z)'' = 0 \quad (1)$$

$$2 EI_y^m u'' + EA_m \frac{b^2}{2} u_w'' + 2 \{ EI_y^{fu} (\frac{h}{2} + e_b) - EI_y^u (\frac{h}{2} - e_b) \} \theta'' - \{ EA_m e_b + (EA_{fu} - EA_{fr}) \frac{h}{2} \} \frac{b^2}{2} \theta_z'' + (M_x \theta_z)'' - \frac{EA_m b^2}{2G b t_b} (M_x \theta_z)''' = 0 \quad (2)$$

$$EC_w \theta'' - GJ \theta_z'' + 2 \{ EI_y^{fu} (\frac{h}{2} + e_b) - EI_y^u (\frac{h}{2} - e_b) \} u'' - \frac{b^2}{2} \{ EA_m e_b + (EA_{fu} - EA_{fr}) \frac{h}{2} \} u_w'' + M_x (u'' + e_m \theta_z'') + \frac{2EA_m e_b + (EA_m - EA_{fr}) h}{4G t_b} (M_x \theta_z)''' = 0 \quad (3)$$

ここで、添字 g 、 m 、 fu および fr はそれぞれ橋断面、主析、上フランジおよび下フランジを表す。また t_b は構構換算板厚、 b は局部変形に因する分布ばねの剛性である。

4. 座屈式の簡易化と無次元パラメータ 上下フランジが等しい場合で、等曲げモーメント M_0 が作用する単純桁を考えると、式(1)～(3)は簡略化され、Galerkin法によつて求めた座屈モーメント式は

$$\frac{(M_0)_{cr} l}{EI_y^g} = \frac{\pi^2 \frac{r_x}{l}}{1 + \pi^2 P_+^g + \pi^2 P_-^g} \left[\sqrt{\left(\frac{2e_b}{r_x}\right)^2 + \left(1 + \pi^2 P_+^g + \pi^2 P_-^g\right)} - \frac{2e_b}{r_x} \right] \quad (4)$$

式中、4個の無次元パラメータが含まれている。それらの力学的意味は e_b/r_x ：構構取付位置のパラメータ、 l/r_x ：主析の細長比、 $P_+^g = EI_y^g/G b t_b l^2$ ：構構のせん断

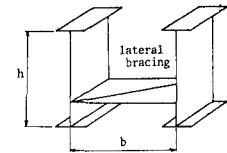


図-1 解析モデル

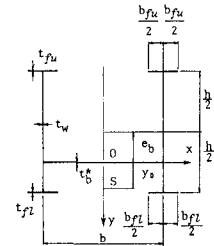


図-2 断面寸法

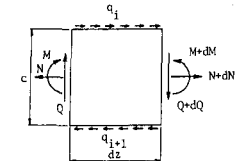


図-3 折板要素の面内力

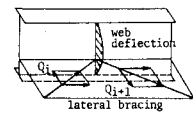


図-4 取付部局部変形

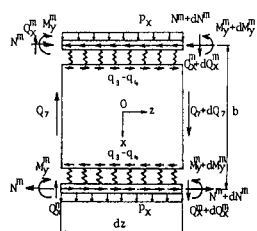
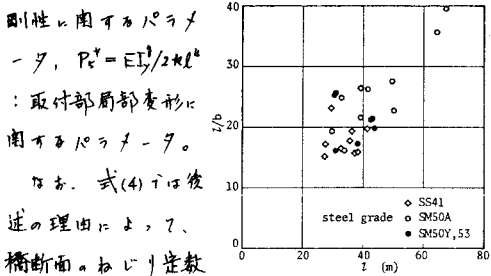


図-5 局部変形の評価モデル



5. パラメータの実橋における分布 エレメントは側道橋 ($l/b \geq 15$) を対象として、上述の無次元パラメータおよびスパン長・主桁間隔比・橋断面のねじり定数比を調査し、その分布を図-6に掲げた。また全体横倒れ座屈に關する細長比パラメータ α^* を次のように表わす。

$$\alpha^* = \sqrt{\frac{M_y}{(M_0)_c}} - \frac{1.52}{\sqrt{k}} \sqrt{\frac{\sigma_y}{E}} \frac{l}{b} \sqrt{\frac{G + P}{2 + P}} \quad (5)$$

ここで $P = A_w/A_f$ 、 k は式(4)を r_x/l で割った値である。この α^* と道路橋示方書の主桁横倒れ座屈に關する細長比パラメータ α^m の実橋における分布を図-7に掲げた。これらのパラメータの分布に関して、以下の特徴がある。

(1) 橋断面のねじり定数比 P_c は1以下で、ねじり抵抗に対する GJ^3 の効率は小さい。

(2) P_c^* は0.02~0.1を介してあり、横構せん断剛性は横倒れ座屈強度に対して重要な影響を与える。しかし l/b が大きくなると、弹性域で横倒れ座屈を生ずるようなエレメントの場合についてはせん断変形の影響は微弱となる。

(3) 一面の横構を有する2主桁橋の適用支間長は25m~70m、そのスパン長・主桁間隔比は最大40になつている。図7-(1)に示すように、この形式の2主桁の全体座屈に關する細長比パラメータ α^* は l/b と強い相関を有している。(1つの特例は横構が上フランジに取付けられている。)

(4) 全体がよび局部横倒れ座屈に關する細長比パラメータがともに1を越えるような実例は存在しないようである。全体横倒れ座屈に關する解析において、 $\alpha^* > 1$ の場合、局部横倒れ現象との相互作用は考えなくてよいと考えられる。

(5) 橋構取付位置と断面之半径の比 e_b/r_x は0.4~1.2、主桁の細長比 α/r_x は50~80に分布している。

6. あとがき 本章では、弹性分岐座屈問題としてエレメント2主桁橋の横倒れ座屈パラメータの關係を論じたが、初期変形や残留応力を考慮した極限強度問題としての安全性の照査式、横構ひさしの補剛設計に關する考察が今後の課題である。

参考文献 1) 西村、小松、大野：橋点部の局部変形が2主桁橋の全体的挙動に与える影響について、土木学会年次講演会工-70、昭和56年。 2) 日本道路協会：鋼道路橋設計標準、昭和54年。

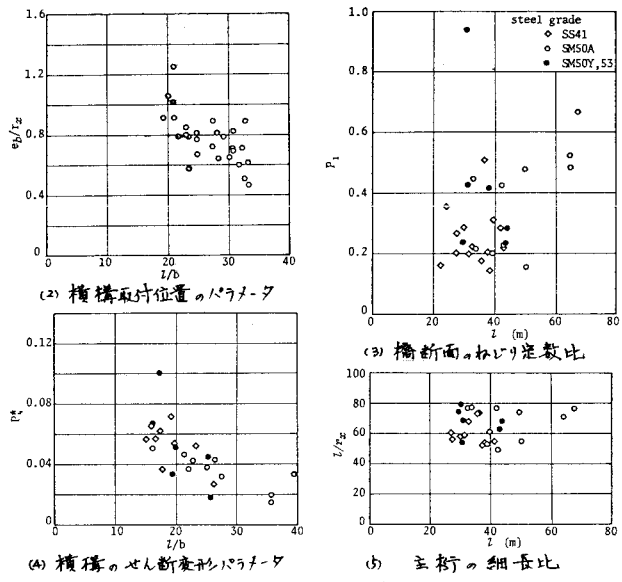
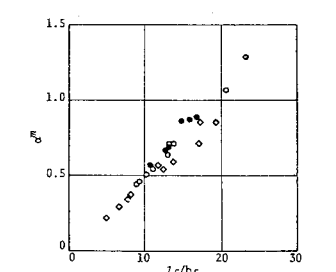
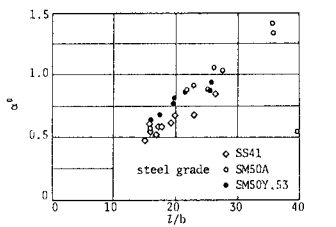
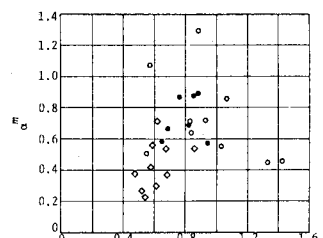


図-6 各種パラメータの実橋における分布



(2) 局部横倒れ座屈の細長比パラメータ α^m



(3) $\alpha^* - \alpha^m$ の相関

図-7 細長比パラメータの分布